

- [3] Br y u k s i n V.V., M i r l i n D.N., R e s h i-n a // Sol. St. Comm. 1972. V. N 11. P. 695.
- [4] B e g l e y D.L., A lexander R.W., W a r d C.A. and B e l l R.J. // Surface Science. 1979. V. 81. P. 238.
- [5] В айчикаускас В.В., В айшкунас С., Ж и-жин Г.Н., М алдутис Э.К., Я ковлев В.А. Пре-принт ИФ АН Лит. ССР, Вильнюс, 1987.
- [6] O r d a l M.A., B e l l R.J., A lexander R.W., L o n g L.L., Q ue r r y M.R. // Appl. Opt. 1985. V. 24. N 24. P. 4493.

Поступило в Редакцию
20 октября 1989 г.

Письма в ЖТФ, том 16, вып. 2

26 января 1990 г.

03; 04

© 1990

ИССЛЕДОВАНИЕ ЭЛЕКТРИЧЕСКОГО ПРОБОЯ МАЛОГО ПРОМЕЖУТКА, ЗАПОЛНЕННОГО ДИСТИЛЛИРОВАННОЙ ВОДОЙ

Б.А. С р е б р о в, Л.П. Д и ш к о в а,
Ф.И. К у з м а н о в а

Пробой малых промежутков, заполненных жидкостью, изучен зна-
чительно слабее, чем пробой газов и твердых диэлектриков. В ли-
тературе имеются лишь незначительные сведения по этому вопросу,
к тому же относящиеся к промежутку, заполненному углеродосо-
держащими диэлектрическими жидкостями [1, 2, 4]. Что касается
пробоя малого промежутка (\sim мкм), заполненного водой, за ис-
ключением нескольких величин [3, 5], других данных в литературе
нет.

Согласно основным работам в этой области, при подобных ус-
ловиях часто речь идет о электрическом пробое при высоких напря-
женностях поля ($> 10^5$ В/см); в этом случае источником носите-
лей зарядов служит автоэлектронная эмиссия электронов из катода.

В настоящем сообщении приводятся результаты исследования
зависимости напряжения пробоя (U_{pp}) от межэлектродного рас-
стояния (d_{pp}) для случая сильных полей (10^6 - 10^7 В/см), по-
лучаемых при пробое межэлектродного промежутка порядка несколь-
ких микронов, заполненного дистиллированной водой, и приложении
импульсного напряжения к электродам до 10^3 В.

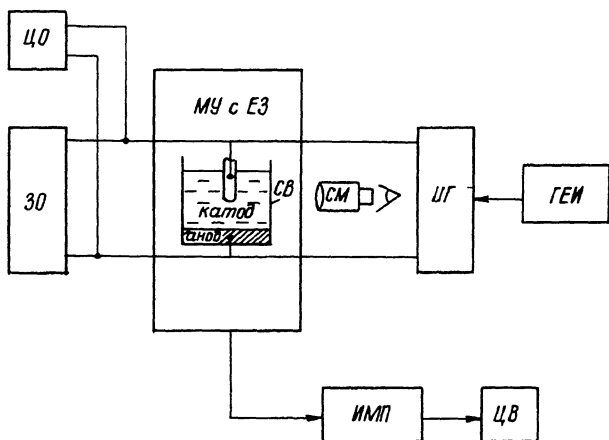


Рис. 1. Схема опытной установки.

Схема опытной установки показана на рис. 1. Она состоит из стеклянной ванны (СВ), двух электродов, расположенных в СВ, микрометрического устройства для фиксирования малых межэлектродных расстояний МУ, на котором смонтирован емкостной зонд (ЕЗ) для измерения малых межэлектродных расстояний, измерителя малых перемещений ИМП, связанного с ЕЗ; цифрового вольтметра ЦВ для отсчета значений межэлектродного расстояния, импульсного генератора ИГ, генератора единичных импульсов ГЕИ, цифрового омметра ЦО для регистрации нуля межэлектродного расстояния (электрического контакта), запоминающего осциллографа ЗО для регистрации U_{pp} , стереомикроскопа СМ для наблюдения промежутка.

Снятие зависимости $U_{pp} = f(d_{pp})$ производилось следующим образом. Устанавливалось межэлектродное расстояние d_{pp} с помощью МУ, причем его значение отсчитывается при этом по ЦВ и СМ. Относительный ноль определяется предварительно с ЦО. Стеклянная ванна заполняется водой и при помощи СМ наблюдается, чтобы не образовались воздушные пузыри в разрядном промежутке. Подается единичный импульс напряжения, амплитуда которого 400 В, а продолжительность 5 мкс на разрядный промежуток. Запоминающий осциллограф регистрирует значение напряжения пробоя U_{pp} для установленного значения d_{pp} .

На рис. 2 (кривая 1) показаны значения $U_{pp\,ср}$ и аппроксимированная к ним кривая по методу наименьших квадратов. Она описывается уравнением:

$$U_{pp} = -2.42 + 90.57 d_{pp}^{1/2} + 12.34, \quad (1)$$

где U_{pp} подставляется в В, а d_{pp} в мкм.

Из полученных результатов видно, что значения U_{pp} имеют большую дисперсию, но $U_{pp\,ср}$ сравнительно хорошо описывается

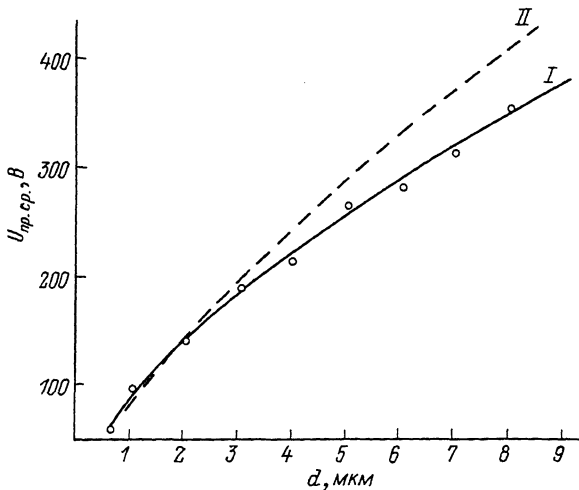


Рис. 2. Зависимость напряжения пробоя от межэлектродного промежутка. I – экспериментальная кривая для воды. II – теоретическая кривая для минерального масла.

плавно изменяющейся кривой вида (1).

На основании полученных экспериментальных результатов, а также используя данные модельного описания пробоя жидкого диэлектрика при высоких значениях напряженности электрического поля [4], можно сделать некоторые предположения в отношении механизма пробоя жидкых диэлектриков для малых межэлектродных расстояний (порядка нескольких микронов).

На рис. 2 приведена также кривая II, полученная на базе работы [4], в которой исследован пробой минерального масла. Согласно [2], при чисто электрическом пробое вид жидкости не влияет существенно на напряжение пробоя. Из рисунка видно, что существует довольно хорошее совпадение полученных в настоящей работе экспериментальных данных для напряжения пробоя воды при высоких напряженностях поля с теоретически полученной кривой. Это дает основание полагать, что механизм пробоя может быть описан следующим образом. Вначале, перед наступлением пробоя, в результате высокой напряженности поля получается начальный предпробойный автоэмиссионный ток из катода. В результате ионизационных столкновений электронов с молекулами воды образуется электронная лавина, которая движется от катода к аноду. При достижении критического значения плотности тока (около 10^3 A/cm^2) лавина формирует разряд с довольно большим током и сравнительно низким катодным падением потенциала.

Количественно пробой тонкого слоя жидкого диэлектрика коротко можно описать следующим образом.

Плотность автоэмиссионного тока определяется из выражения

$$j_k = \alpha E_k^2 e^{-\delta/E_k}, \quad (2)$$

где E_k - напряженность поля у катода; α и δ - константы.

Коэффициент объемной ионизации α в этом случае выражается через E_k следующим образом:

$$\alpha = \alpha_0 E^n, \quad (3)$$

где n и α_0 - константы, зависящие от вида жидкости.

При наличии положительных и отрицательных объемных зарядов для одномерного случая из уравнения Гаусса получаются два основных уравнения пробоя [4]:

$$\alpha_0 d_{np} = \int_0^{\ln \frac{j_\alpha}{j_k}} \frac{dy}{E^n}, \quad (4)$$

$$\alpha_0 E_{cp} d_{np} = \int_0^{\ln \frac{j_\alpha}{j_k}} \frac{dy}{E^{n+2}}, \quad (5)$$

где y - переменная интегрирования, введенная в работе [4]; j_α - плотность анодного тока; j_k - плотность катодного тока.

Теоретическая кривая II (рис.2) получена путем интегрирования уравнений (4 и 5) для случая пробоя минерального масла. Хорошее совпадение этой зависимости с экспериментальными результатами, полученными при пробое тонкого слоя воды, свидетельствует о том, что пробой тонких слоев воды и минерального масла при сильных полях существенно не различаются друг от друга, т.е. их α_0 и n имеют близкие значения.

Список литературы

- [1] Никурадзе А. Жидкие диэлектрики. Л.: ОНТИ. 1936. 237 с.
- [2] Сканави Г.И. Физика диэлектриков. М.: Физматгиз. 1958. 832 с.
- [3] Балыгин И.Е. Электрическая прочность жидких диэлектриков. М.: Энергия. 1964. 228 с.
- [4] Кучинский Г.С. //ЖТФ. 1966. Т. 36. № 7. С.1297-1304.
- [5] Вандайк Ф., Крукап Дж.Р., Гейвельман И.Дж., Сноуэс Р. Некоторые результаты физического исследования электроэррозионной обработки. Доклады на ISEM - 4. Братислава, сентябрь 1974, С. 68-75.

Поступило в Редакцию
4 июля 1989 г.